

図1 2023年11月14日 (535168) 2014 XU40

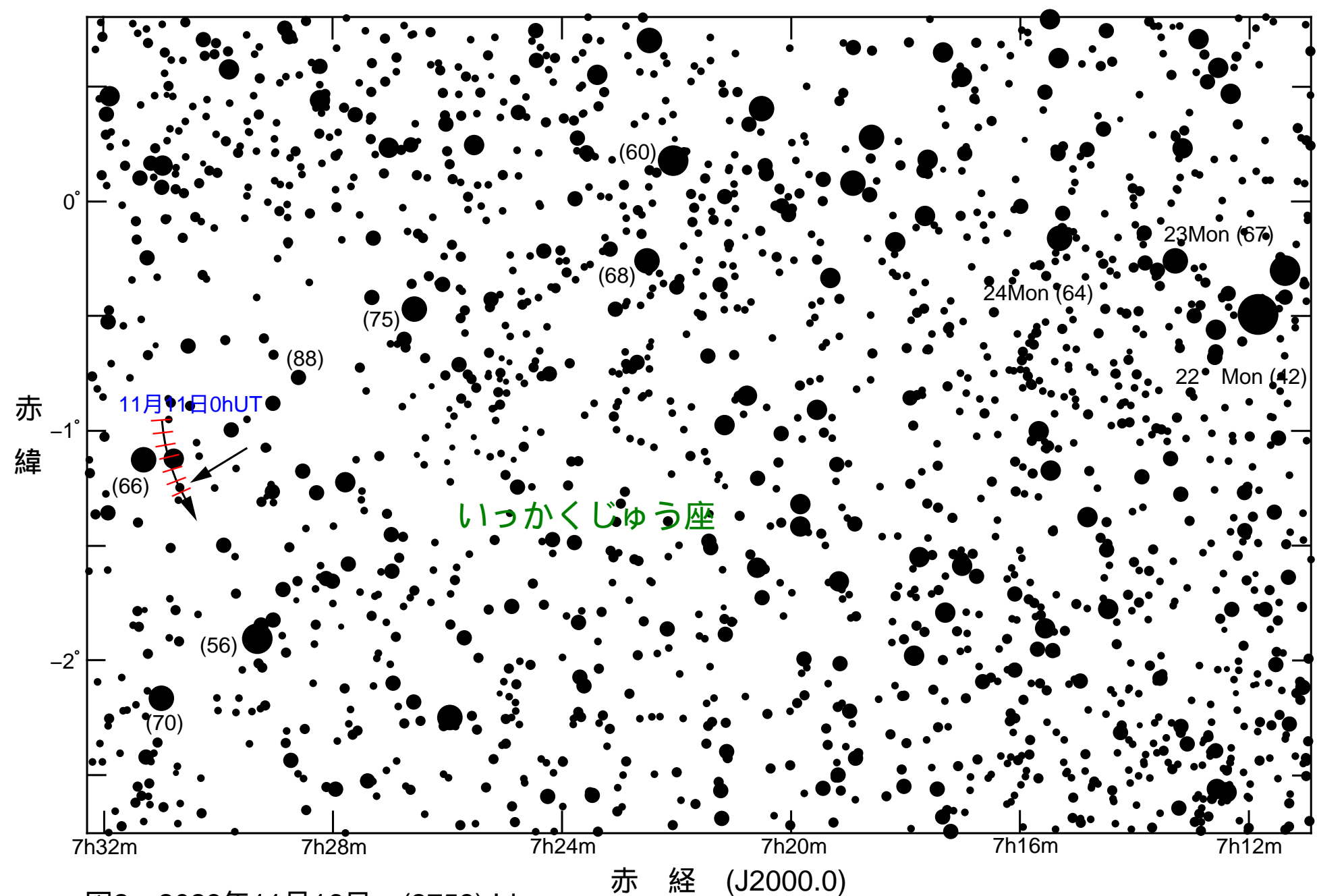


図2 2023年11月16日 (2759) Idomeneus

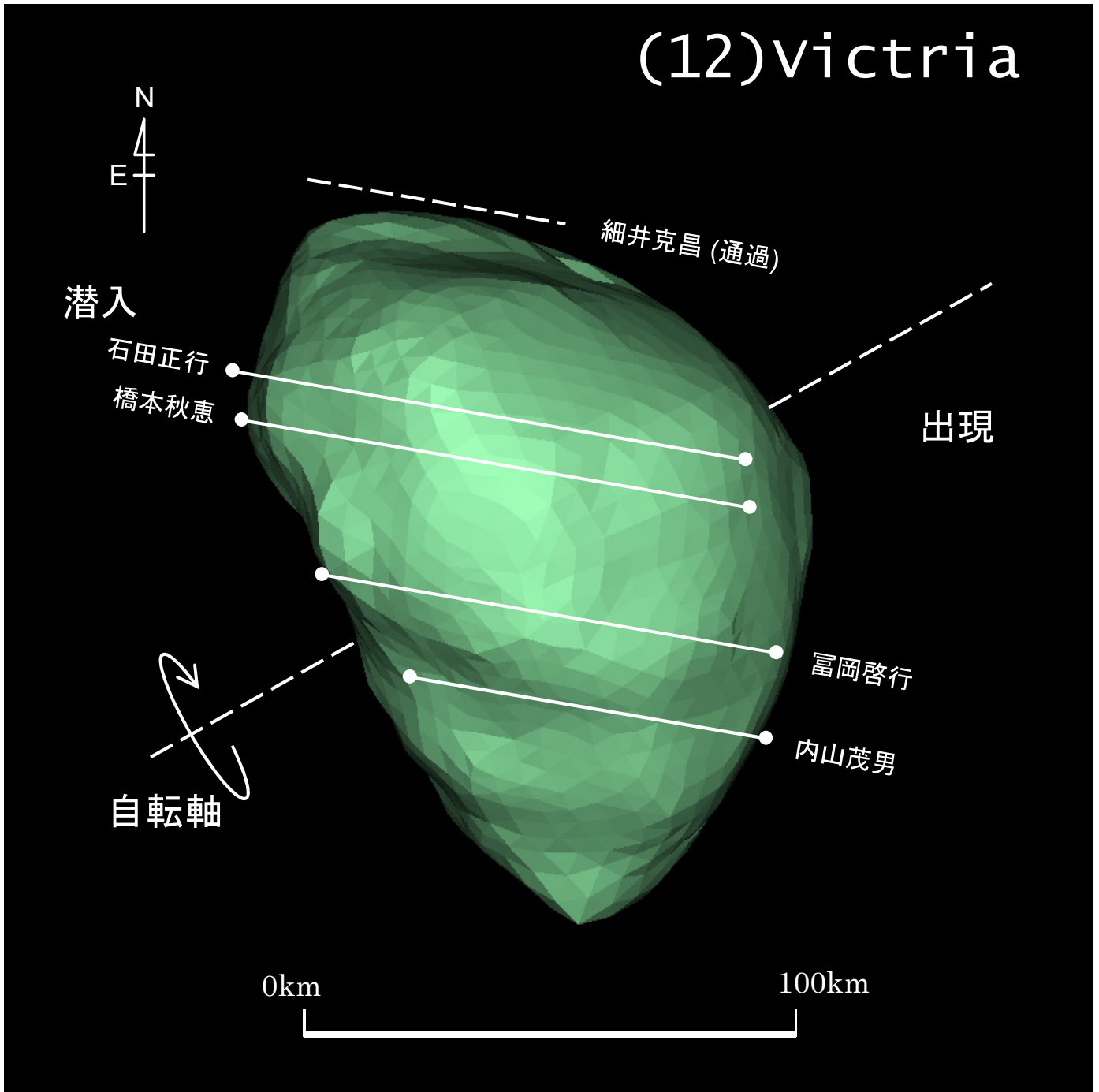


図3 (12) Victoria 2023年3月19日 12h56m20s UT VLT/SPHERE Model ($\lambda = 178$ 、 $\beta = -28$)
 $P = 119^\circ$ 、 $\beta_e = -11^\circ$ 、 $\lambda_e = -87^\circ$ 、Scale Factor 1:1、 $k = 0.969$ 、 $B = 271.4^\circ$

(517) Edith

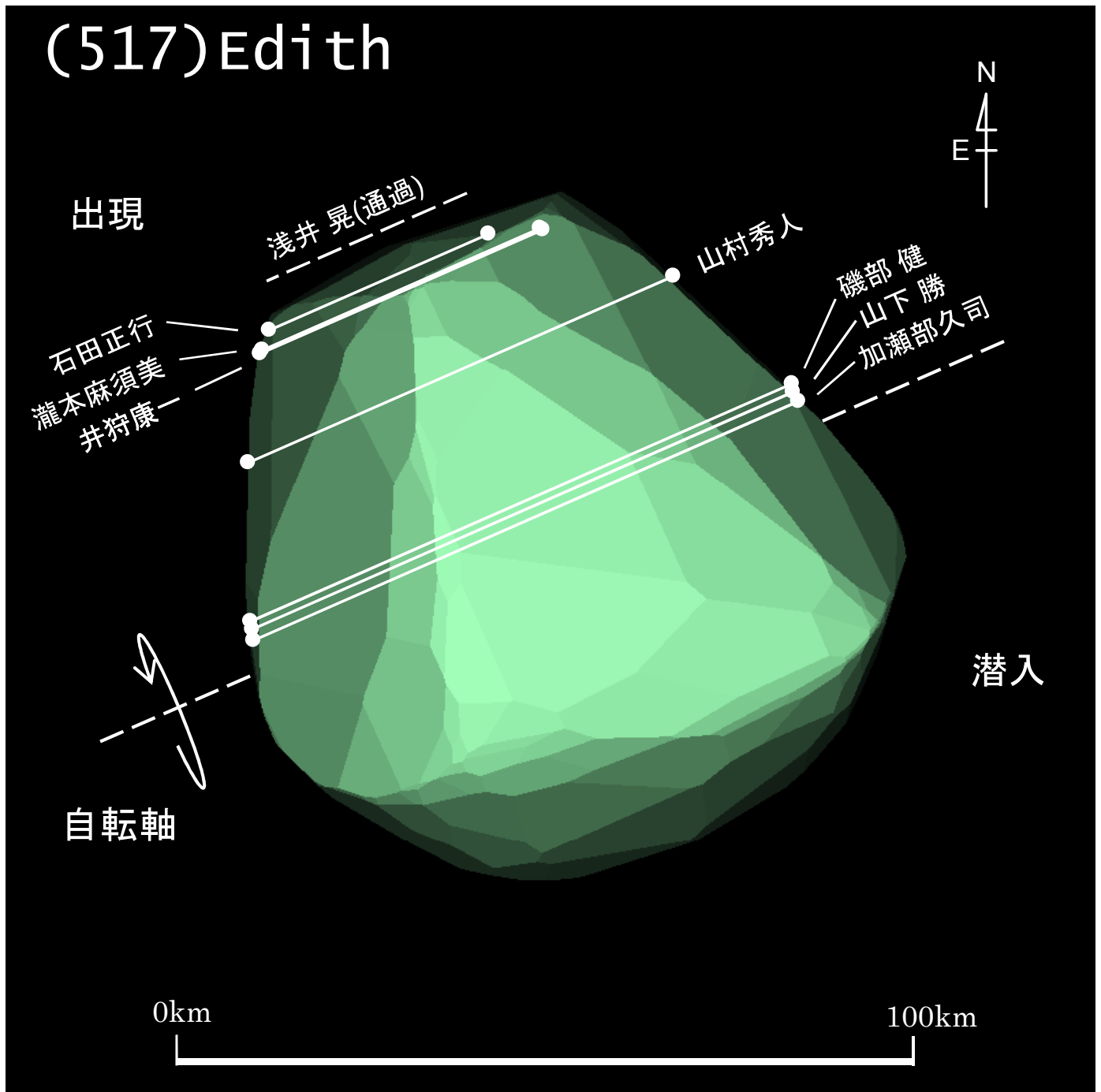


図4 (517) Edith 2023年3月27日 15h49m30s UT DAMIT Model 5503 ($\lambda = 277^\circ$, $\beta = 0^\circ$)
 $P = 114^\circ$, $\beta_e = +5^\circ$, $\lambda_e = +51^\circ$, Scale Factor 1: 71.8, $k = 1.000$, $B = 248.2^\circ$

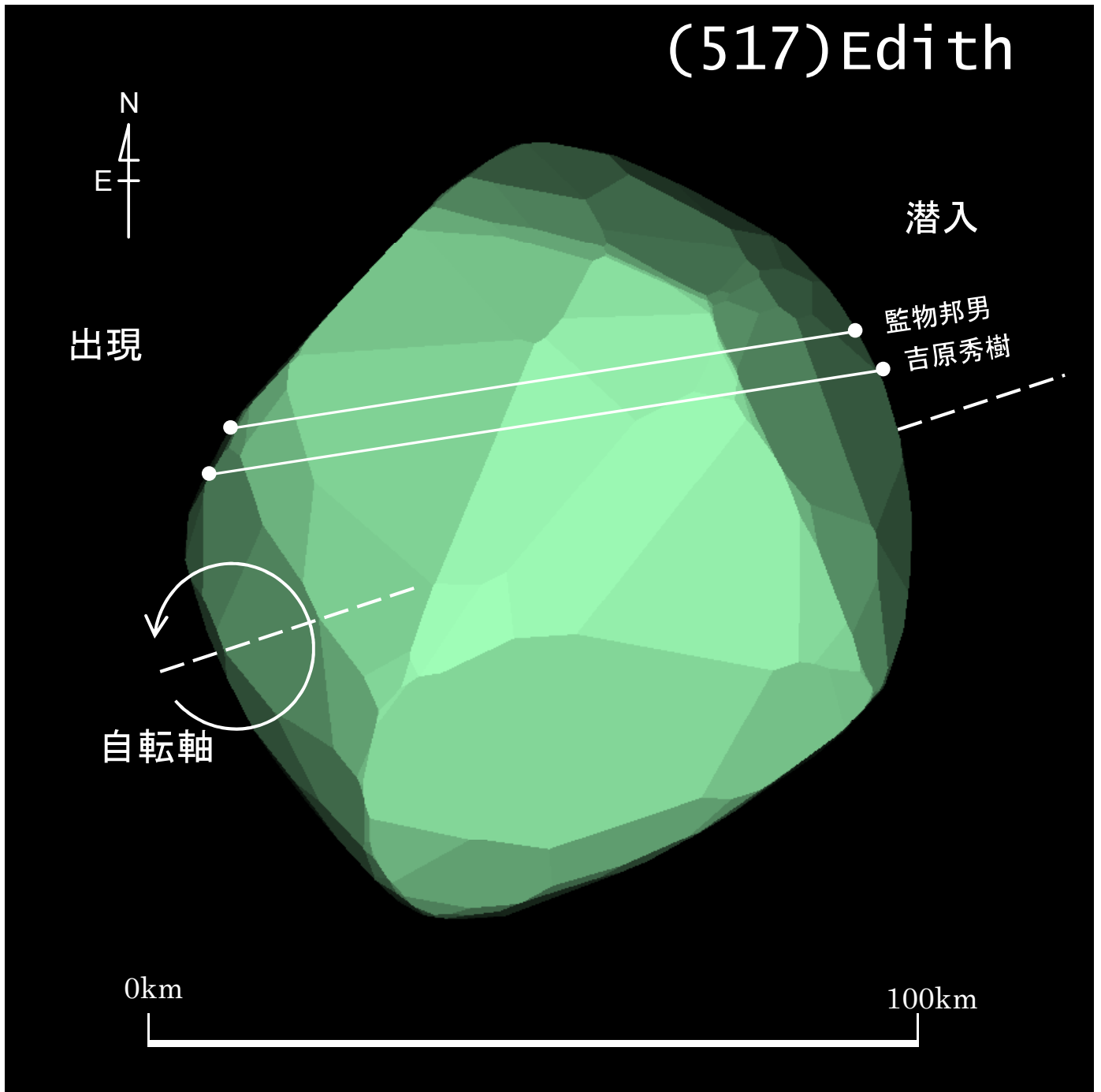


図5 (517) Edith 2011年1月28日 16h09m24s UT DAMIT Model 5503 ($\lambda = 277$ 、 $\beta = +0$)
 $P = 108^\circ$ 、 $\beta_e = +65^\circ$ 、 $\lambda_e = +325^\circ$ 、Scale Factor 1: 72.1、 $k = 1.000$ 、 $B = 261.9^\circ$

(167)Urda

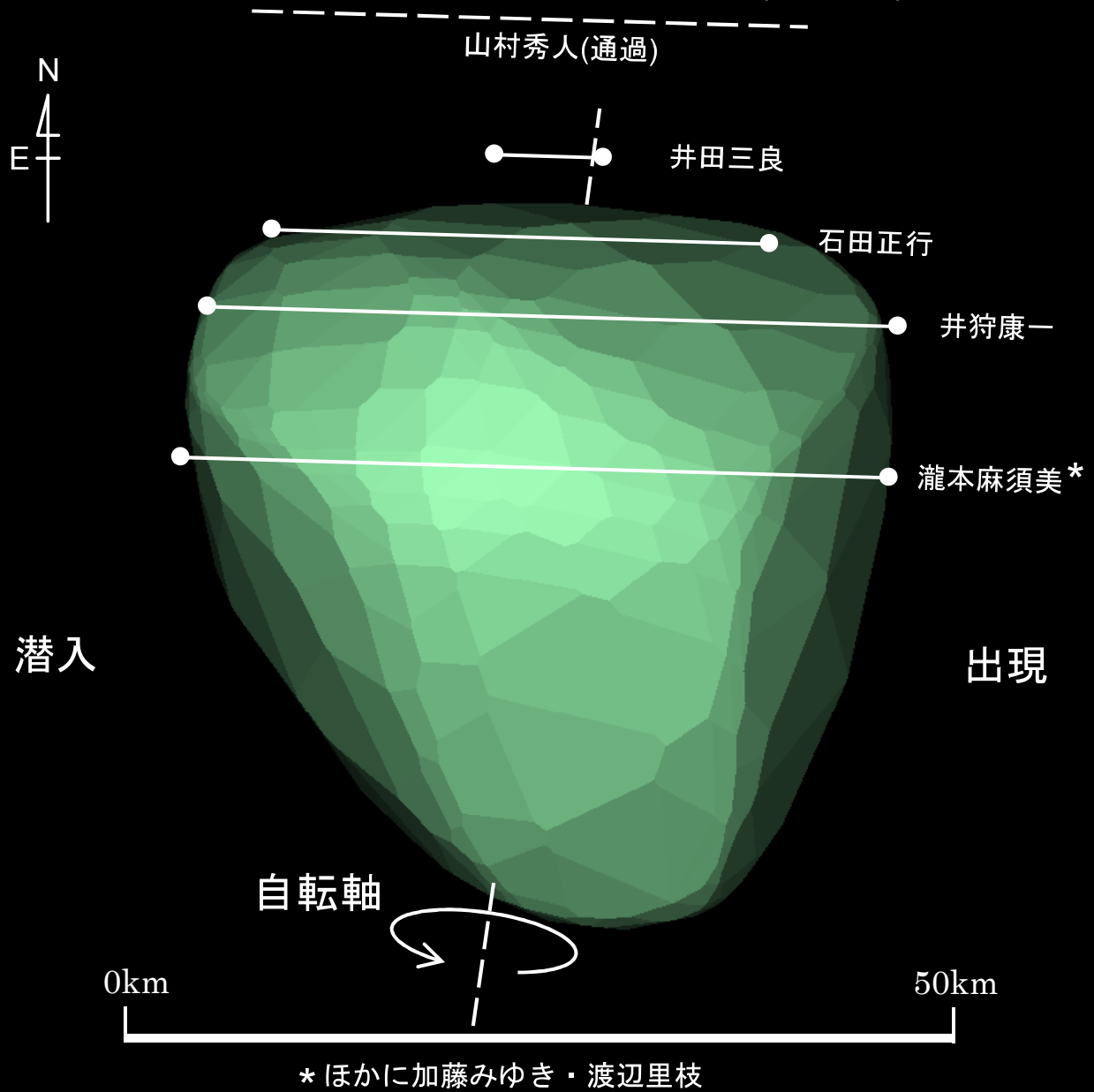


図6 (167) Urda 2023年3月28日 11h51m28s UT DAMIT Model 172 ($\lambda = 249$ 、 $\beta = -68$)
 $P = 172^\circ$ 、 $\beta_e = +18^\circ$ 、 $\lambda_e = -153^\circ$ 、Scale Factor 1: 1.022、 $k = 0.971$ 、 $B = 272.1^\circ$

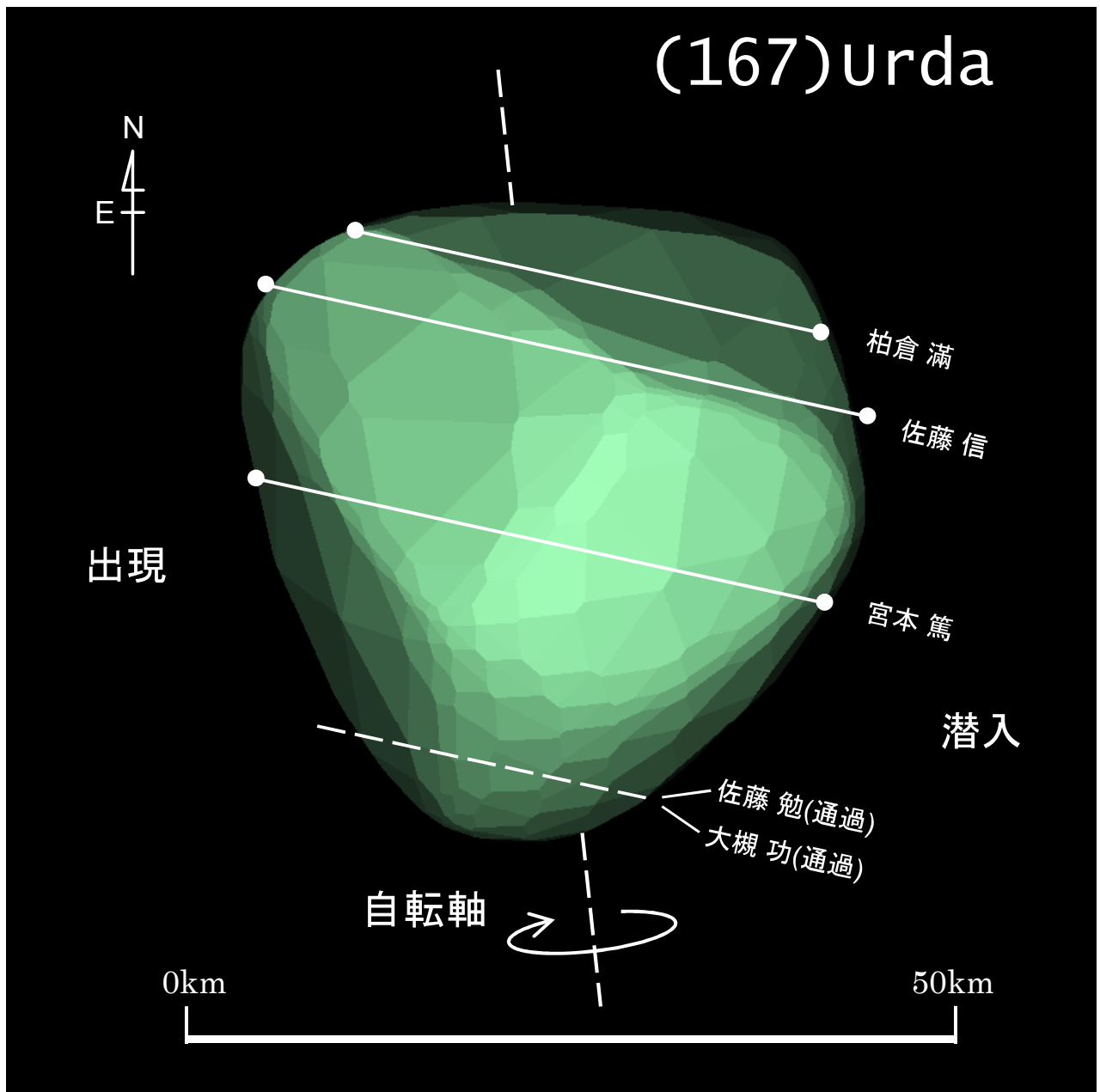


図7 (167) Urda 2001年7月23日 13h00m00s UT DAMIT Model 172 ($\lambda = 249$ 、 $\beta = -68$)
 $P = 186^\circ$ 、 $\beta_e = -13^\circ$ 、 $\lambda_e = +6^\circ$ 、Scale Factor 1: 0.984、 $k = 0.976$ 、 $B = 279.3^\circ$

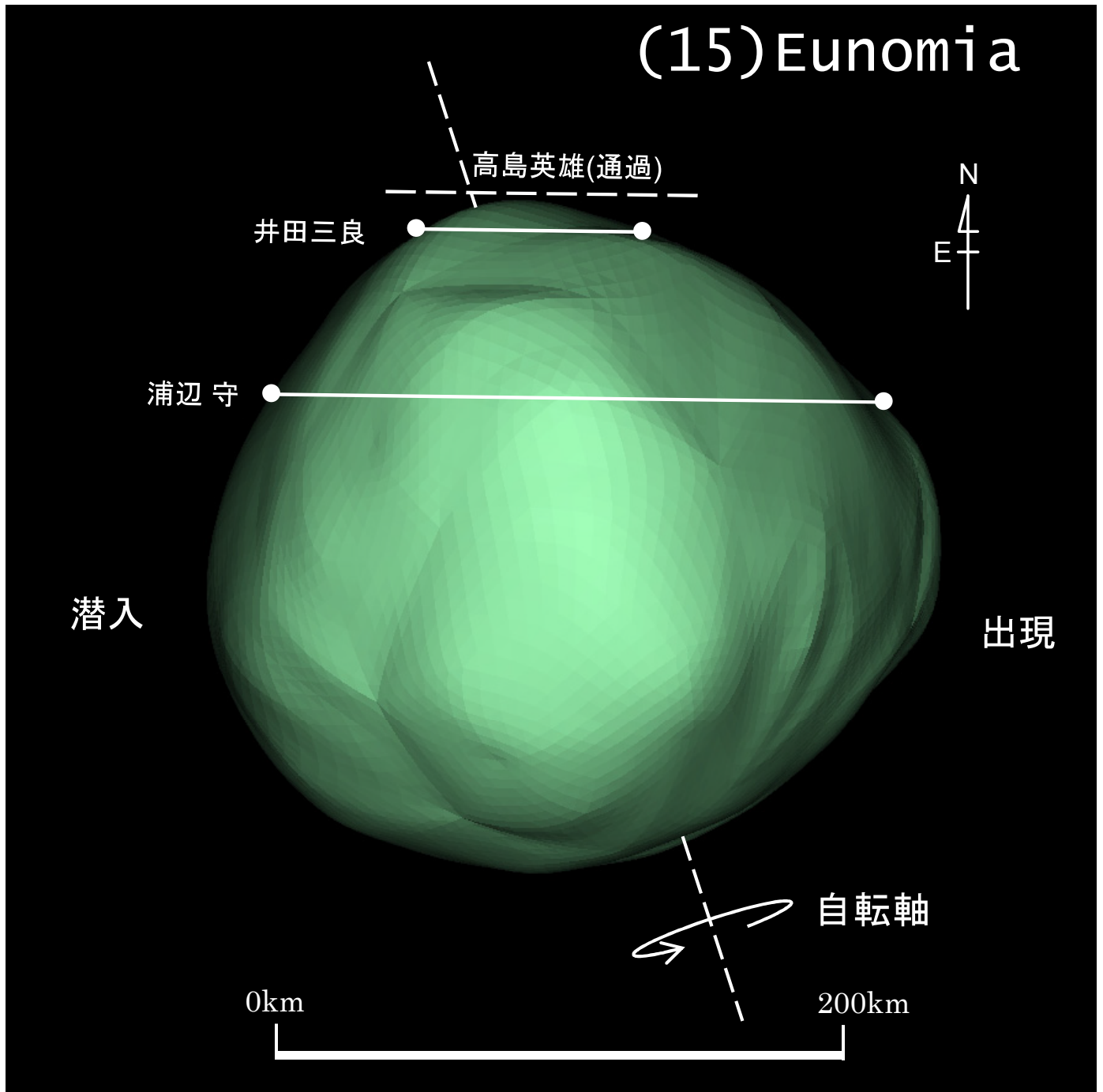


図8 (15) Eunomia 2007年8月8日 19h09m05s UT DAMIT VLT/SPHERE ($\lambda = 355$ 、 $\beta = -70$)
 $P = 198^\circ$ 、 $\beta_e = +7^\circ$ 、 $\lambda_e = -172^\circ$ 、Scale Factor 1: 1.0、 $k = 0.968$ 、 $B = 94.1^\circ$

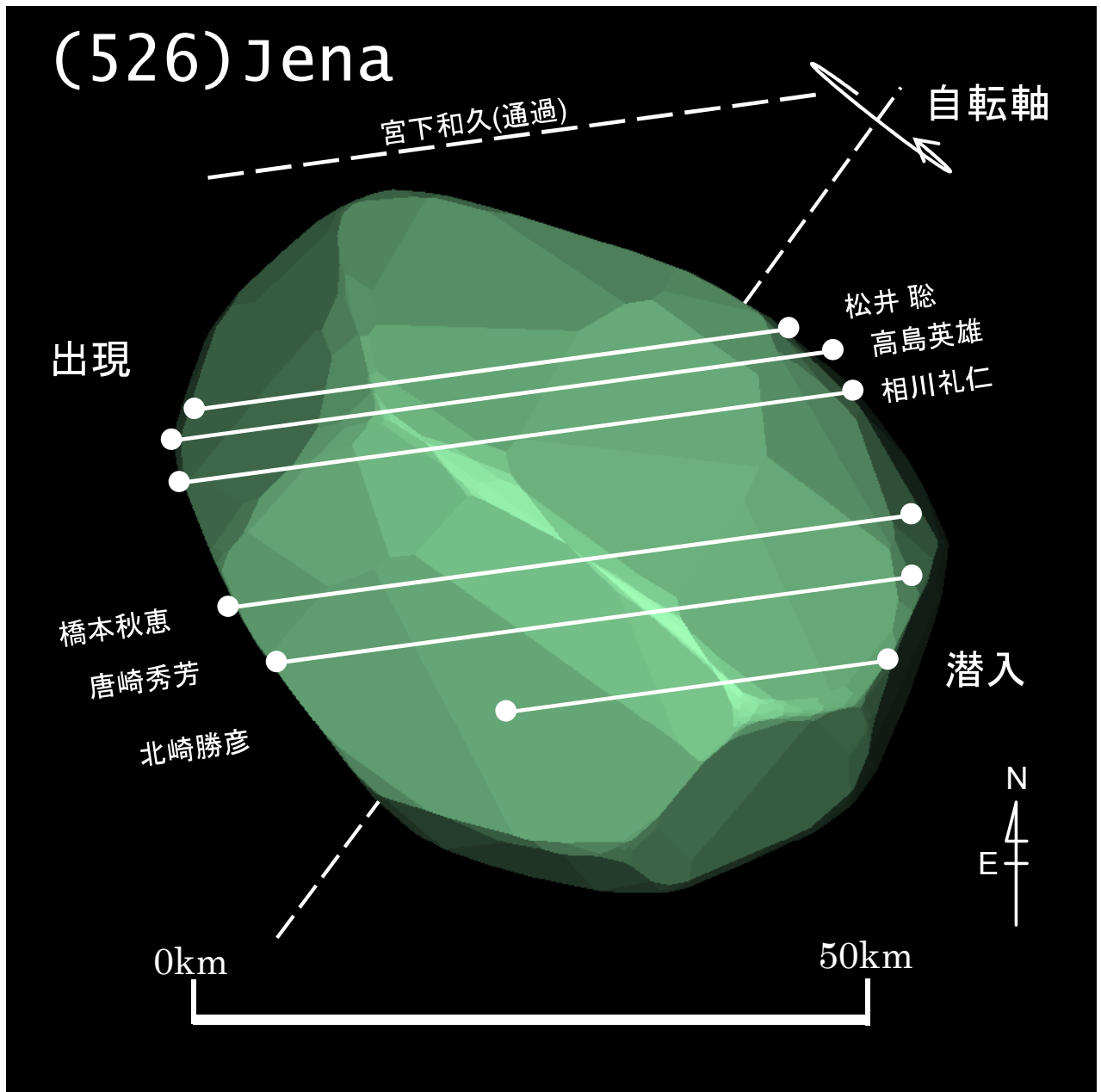


図9 (526) Jena 2008年1月19日 15h36m00s UT DAMIT Model 4378 ($\lambda=16$ 、 $\beta=+50$)
 $P=324$ 、 $\beta_e=-4^\circ$ 、 $\lambda_e=+1^\circ$ 、Scale Factor 1: 0.835、 $k=0.996$ 、 $B=268.7^\circ$

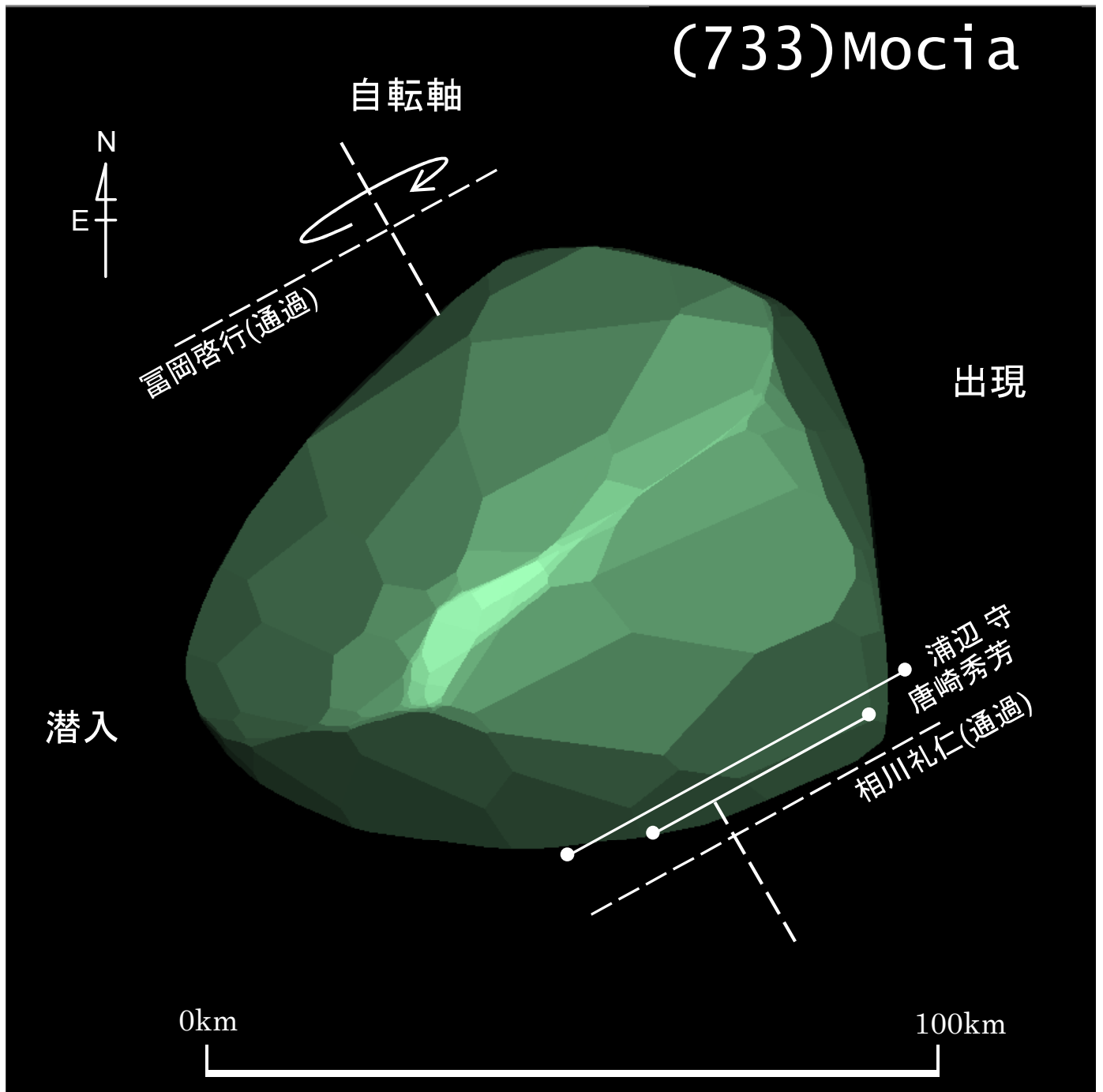


図10 (733) Mucia 2008年 3月 22日 13h41m34s UT DAMIT Model 5715 ($\lambda = 191$ 、 $\beta = +58$)
 $P = 29^\circ$ 、 $\beta_e = -7^\circ$ 、 $\lambda_e = -277^\circ$ 、Scale Factor 1: 75.6、 $k = 0.977$ 、 $B = 266.0^\circ$

(73) Klytia

出現

自轉軸



潜入

影山和久

渡部勇人

0km

50km

図 11 (73) Klytia 2008年 10月 11日 18h01m30s UT DAMIT Model 142 ($\lambda = 44$, $\beta = +83$)
 $P = 353^\circ$, $\beta_e = -8^\circ$, $\lambda_e = +205^\circ$, Scale Factor 1: 38.4, $k = 0.967$, $B = 86.8^\circ$

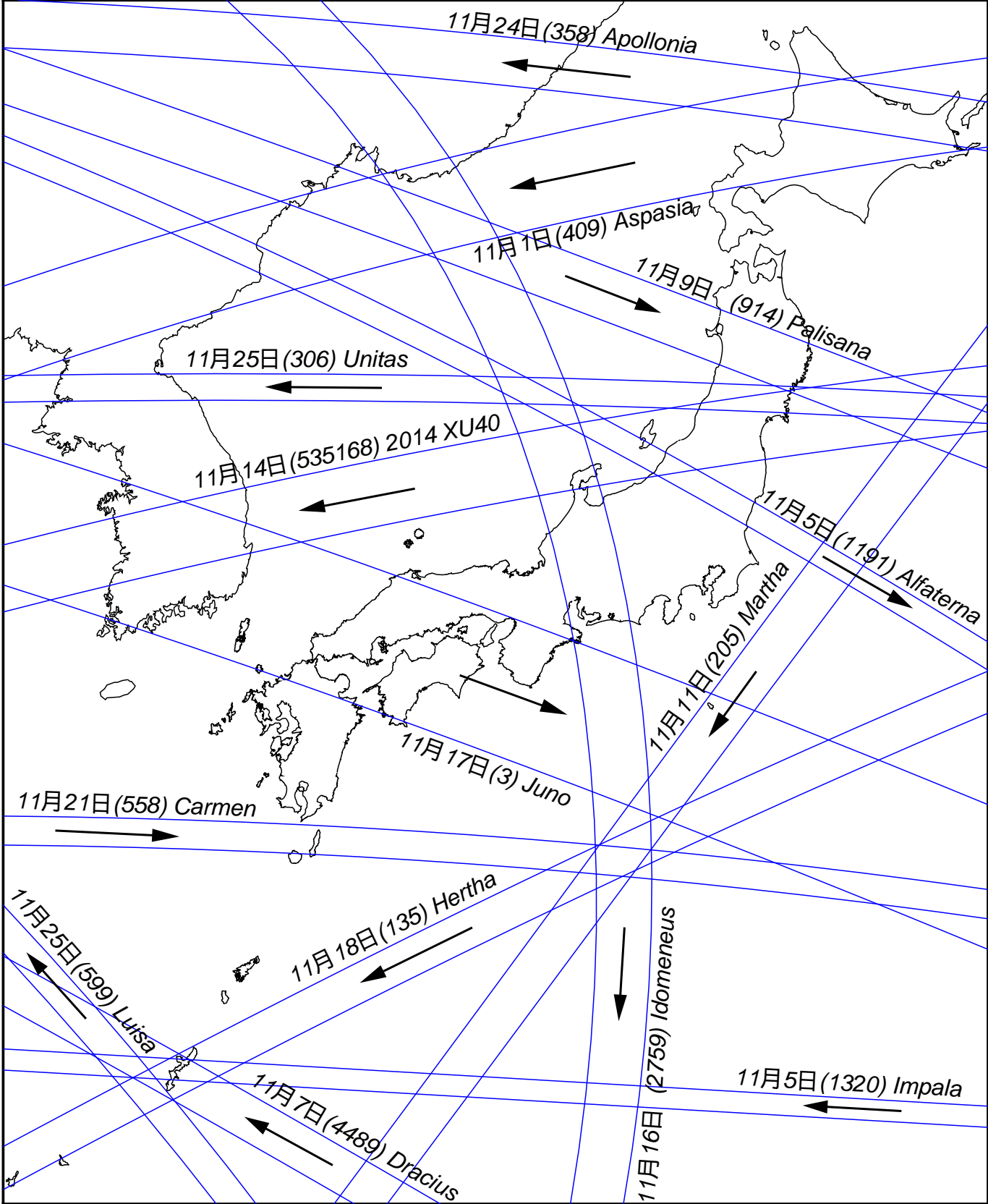


図12 小惑星による主な掩蔽帯経路 (S.Preston予報ほか) 2023年11月
 矢印は影の移動方向を示す

図13 2023年 11月 日本を通る主な星食限界線

(斜線をつけた側で星食が見られる)
 青線：北限界 (斜線はこの線の下側)
 赤線：南限界 (斜線はこの線の上側)

Ⓐ 月が低い

